

طراحی، شبیه سازی و ساخت آنتن مسطح سینوس با پلاریزاسیون دوگانه در محدوده فرکانسی ۲-۱۸ GHz

جلیل راشد محصل رضا فرجی دانا کریم محمد پور اقدم

دانشکده فنی دانشگاه تهران، تهران- ایران

متفاوت صورت گرفته است. نتایج اندازه گیری به خوبی با نتایج شبیه سازی همخوانی داشته و در کل، الگوی تشعشعی و SWR قابل قبولی را برای این آنتنها در پی دارد.

واژه های کلیدی: آنتن مسطح سینوس، بالن مایکرواستریپ Ansoft HFSS، باریک شونده.

چکیده: در این مقاله طراحی، شبیه سازی کامپیوترا، ساخت و در نهایت اندازه گیری مشخصات آنتنها مسطح سینوس انجام گرفته است. بخش تغذیه این آنتنها با استفاده از بالنهای مایکرواستریپ باریک شونده پیاده سازی و ابعاد این بالنهای توسط برنامه شبیه ساز مایکروویو آفیس تعیین شده است. کارایی این بالنهای توسط شبیه ساز Ansoft HFSS شبیه سازی شده است. این مطالعات، سه بعدی برای چهار آنتن سینوس در محدوده فرکانسی و مشخصات طراحی

Design, Simulation and Construction of Dual Polarized Sinuous Antenna in the 2-18 GHz Frequency Range

Karim Mohammad Pour Aghdam

Technical Faculty, University of Tehran, Tehran, Iran

Reza Faraji-Dana

Jalil Rashed-Mohassel

ABSTRACT: The Sinuous antennas have a numerous applications in military and civil systems such as direction finding systems and reflector feeds due to their superior broadband characteristics and simultaneous polarization capability. In this paper, design, simulation, construction and measurements of planar sinuous antennas are investigated for four sinuous antennas, having different design parameters and frequency ranges. Feeding sections of these antennas are realized by using Microstrip-Tapered baluns. We have determined the

microstrip tapered balun dimensions using Microwave Office simulation program. The performances of these antennas and Baluns are simulated using Ansoft HFSS package.

Polarization patterns and return loss characteristics of the designed antennas have been measured in anechoic chamber. These measurements results are in good agreement with theory and simulation.

Keywords: Dual polarized sinuous antenna, HFSS



۱- مقدمه

می دارند. رابطه ای که مختصات نقاط سلول \mathbb{P} را بیان می دارد به

شكل زیر می باشد.

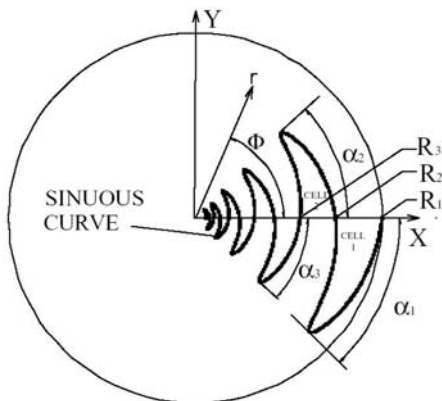
$$\phi = (-1)^p \cdot \alpha_p \cdot \sin \left[\frac{180 \cdot \ln \left(\frac{r}{R_p} \right)}{\ln(\tau_p)} \right] \quad (1)$$

$$R_{p+1} \leq r \leq R_p$$

که در آن τ و ϕ مختصات قطبی منحنی می باشند و شعاع R_p با نسبت زیر بیان می شود.

$$R_p = \tau_{p-1} R_{p-1}$$

پارامترهای طراحی و می توانند مستقل از P انتخاب شوند تا یک ساختار متناوب لگاریتمی حاصل شود.



شکل (۱): منحنی اولیه سینوس

یک بازوی سینوس با چرخاندن منحنی حاصل از معادله (۱) و با جمع و کم کردن زاویه δ حول مرکز منحنی حاصل می شود. یک ساختار کامل N بازویی با چرخش زاویه ای یک بازو به میزان $360^\circ/N$ درجه حاصل می شود که در آن N بزرگتر از واحد می باشد. ساختار چهار بازویی برای دسترسی به دو پلاریزاسیون عمود بر هم خطی یا دایروی بکار می رود. یک ساختار معمول چهار بازویی در شکل ۲ نشان داده شده است. برای ایجاد دو پلاریزاسیون عمود بر هم از این روزنه باید بازوهای رو بروی هم با اختلاف فاز 180° باشند.

بسیاری از کاربردها مانند سیستمهای سویاپ^۱ یا تحریک آنتنهای رفلکتوری^۲، نیازمند المانهای تشعشعی باند وسیع هستند تا بتوانند دو پلاریزاسیون عمود بر هم را فراهم سازند. توانایی فراهم کردن هر دو پلاریزاسیون (خطی افقی و عمودی و یا دایروی راستگرد و چپگرد) از یک روزنه تشعشعی ثابت، بسیار مهم می باشد. در گذشته این نیاز توسط دو آرایه دیپل متقطع با ساختار لگاریتمی فراهم می شد. این راه حل عموماً با مشکل مواجه است، زیرا این آرایه ها بزرگ بودند و مرکز فاز این آرایه ها متغیر با فرکانس بود. همچنین الگوی تشعشعی صفحه E و H این ساختارها، مشابه نبوده و خواص تشعشعی آنها با فرکانس تغییر می کند.

آنتنهای حلقه ای بر تمامی مشکلات فوق، فائق آمدند ولی این آنتنهای تنها توانایی ایجاد و دریافت یکی از پلاریزاسیونهای دایروی را دارا هستند [۱].

در سال ۱۹۸۲، آقای دوهامل^۳ المان تشعشعی ویژه ای را طراحی و آن را آنتن سینوس^۴ نامید [۲]. این ساختار بسیاری از معضلات ذکر شده را حل نمود. همچنین روزنه تشعشعی این آنتن، مرکز فاز ثابتی را بسته به پلاریزاسیون و فرکانس عملکرد فراهم می سازد. این آنتن از لحاظ اندازه، شبیه آنتن حلقه ای بوده و پهنای پرتو و بهره ای شبیه آنتن حلقه ای دارد ولی توانایی دریافت هر دو پلاریزاسیون عمود بر هم را زیر یک روزنه تشعشعی دارد است [۳].

۲- اصول آنتن سینوس**۲-۱- شکل گیری آنتن سینوس**

شکل ۱. ساختار پایه ای یک منحنی سینوس را که می تواند یکی از بازوهای آنتن سینوس باشد، نشان می دهد [۲]. با توجه به ساختار متناوب لگاریتمی، منحنی سینوس بطور کامل با یکسری زوایا و یک ضربی گشودگی τ تعریف می شود. چنانکه در شکل ۱ نشان داده شده است. منحنی از یکسری سلولهایی تشکیل می شود که از سلول شماره (۱) با شعاع بیرونی R_1 شروع می شوند. R_p اندازه شعاع بیرونی سلول \mathbb{P} را نشان می دهد و α_p و τ_p به ترتیب پهنای زاویه ای و نسبت شعاع درونی به بیرونی هر سلول را بیان

1- Direction-finding system
2- Reflection feeds

3- Raymond H. DuHamel
4- Sinuous Antenna

۲-۲- ملاحظات طراحی
 ناحیه فعال برای تشعشع در آنتن سینوس در شعاعی قرار دارد که حاصل ضرب عرض پیرامونی بازو که با زاویه $(\alpha + \delta) 2$ بیان می‌شود در شعاع، حدود نصف طول موج باشد. یعنی:

$$2r.(\alpha_p + \delta) = \lambda/2 \quad (3)$$

که در این رابطه، زوایا بر حسب رادیان بیان می‌شوند، بنابراین، فرکانس پایین عملکرد آنتن با شعاع خارجی آنتن محدود می‌شود، یعنی $4R_i(\alpha_i + \delta) = 4R_i \lambda_L$. فرکانس بالای آنتن، عموماً بوسیله تپلوژی تغذیه آنتن محدود می‌شود. برای کارایی بالا در فرکانس‌های بالا، کوچکترین سلول باید کوچکتر از $\lambda_H/4$ باشد تا گذار مناسب از منطقه تحریک به منطقه فعال ایجاد شود. مصالحه مناسب که عموماً استفاده می‌شود، به قرار زیر است:

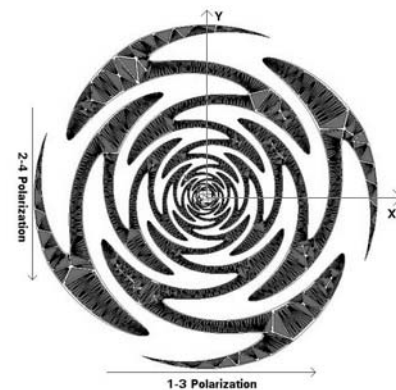
$$2R_p.(\alpha_p + \delta) = \frac{\lambda_H}{4} \quad (4)$$

یک ساختار سینوس خود مکمل دارای امپدانس ورودی تقریباً حقیقی بوده و در کل باند عملکرد آن مستقل از فرکانس می‌باشد. نشان داده شده است که اگر یک ساختار متقارن چرخشی مانند آنتن سینوس خود مکمل با مود M (یا $-M$) تحریک شود، امپدانس ورودی هر بازو نسبت به زمین با رابطه ۵ داده می‌شود [۲].

$$Z_M = \frac{30\pi}{\sin\left(\frac{\pi M}{N}\right)} \quad (5)$$

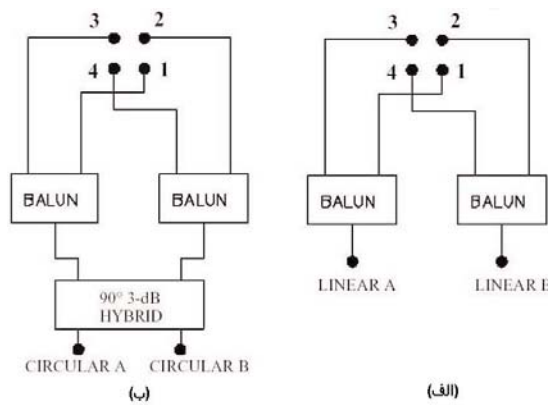
یک روزنه چهار بازویی خود مکمل توسط سیستم بالانس با مود یک تحریک می‌شود. بنابراین با توجه به رابطه ۵ هر بازو امپدانسی حدود ۱۳۳ اهم نسبت به مرجع زمین خواهد داشت. به عبارتی اگر دو بازو بصورت بالانس تغذیه شوند امپدانس ورودی این دو بازو ۲۶۶ اهم خواهد بود. البته به خاطر ملاحظات عملی و شیوه‌های تحریک و اثر بارگذاری دی‌الکتریک و نیز حفره جاذب پشت آنتن، این مقدار در اکثر موارد کمتر می‌باشد. عموماً برای ساختار سینوس خود مکمل با خط تغذیه بالانس امپدانس ۲۰۰ اهم در نظر گرفته می‌شود.

درجه و در مرکز بازوها تغذیه شوند. نتیجه حاصل، دو پرتو دو جهته متقارن چرخشی می‌باشد که نسبت به دو جفت بازوی خود پلاریزه خطی شده است. هر دو پرتو در راستای عمود بر صفحه روزنه دارای قله ماکزیمم هستند.



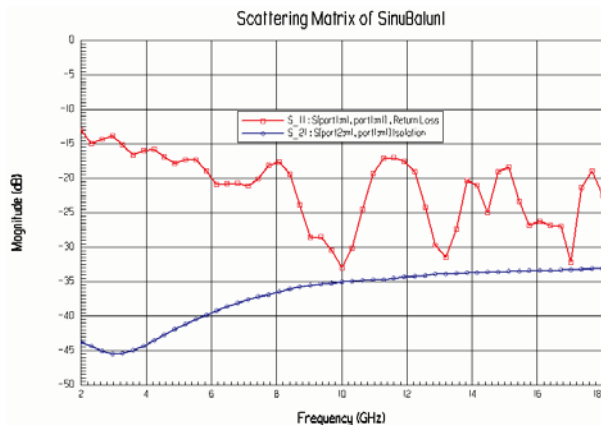
شکل (۲): روزنه تشعشعی آنتن سینوس چهار بازویی

پرتوهای حاصل دو جهته می‌باشند، پرتوی تک جهته با بکارگیری محفظه پر شده با ماده جاذب در یکی از دو جهت روزنه، برای جذب تشعشع در آن جهت قبل حصول است. دو پلاریزاسیون دایروی می‌تواند با ترکیب این دو پرتو با پلاریزه خطی به اضافه ۹۰ درجه چرخش فاز در یکی از پرتوها حاصل شود. این چرخش ۹۰ درجه را می‌توان با یک هایبرید ۹۰ درجه با تقسیم ۳ dB بدست آورد [۷]. شماتیک مداری لازم برای ایجاد دو پلاریزاسیون خطی و دو پلاریزاسیون دایروی را می‌توان در شکل ۳ مشاهده کرد [۲].



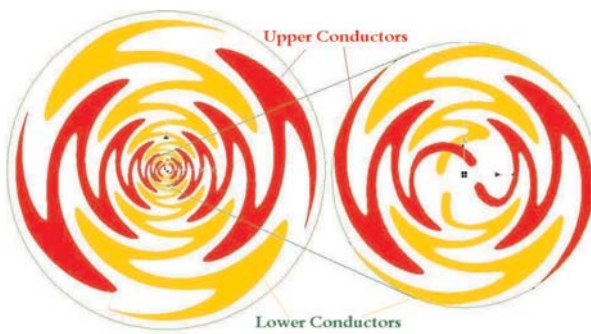
شکل (۳): شبکه تغذیه آنتن سینوس برای دستیابی به
 (الف) پلاریزاسیونهای خطی و (ب) پلاریزاسیونهای دایروی





شکل(۵): تلف برگشتی و ایزولاسیون دو پورت بالن باریک شونده

برای استفاده از بالن باریک شونده با ساختار توصیف شده، می‌بایست مرکز آنتن سینوس به خاطر ساختار خاص این دو بالن که در یک صفحه قرار دارند، تغییر داده شود. این تغییر باید به نحوی اعمال شود که تقارن دو جفت بازوها نسبت به هم حفظ شود. این ویژگی در صورت استفاده از هر دو رویه زیرلایه دیالکتریک برای چاپ آنتن میسر می‌شود (شکل ۶).



شکل(۶): آنتن سینوس با جزئیات بخش تغذیه با بالن مایکرواستریپ باریک شونده. باید توجه داشت که دو بازوی متقاطع در دو رویه زیر لایه قرار دارند.

۴- شبیه‌سازی آنتن سینوس

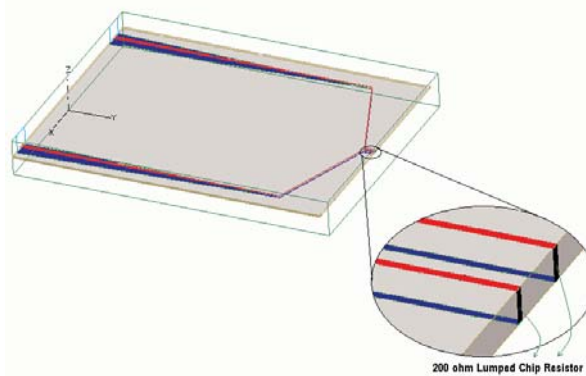
برای حصول اطمینان از کارائی آنتنهای سینوس، یک نمونه آنتن در محدوده فرکانسی ۲-۱۸ GHz شبیه‌سازی تمام‌موج شده است.

5- Marchand

۳- مدار تغذیه

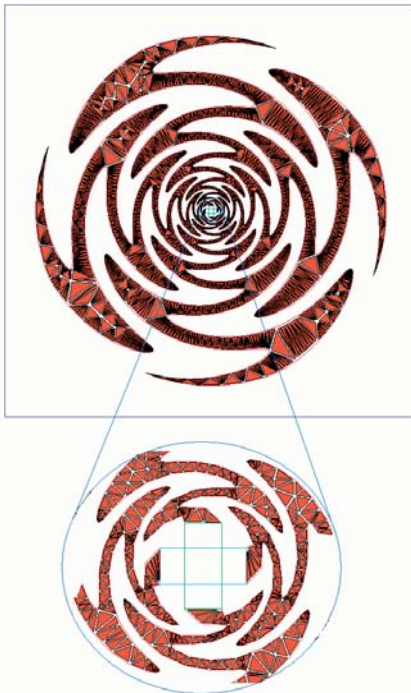
آننهای سینوس می‌توانند توسط چندین نوع مدار، تغذیه شوند. شکل ۳ ساختار لازم را برای ایجاد هر دو پلاریزاسیون خطی یا دایروی را نشان می‌دهد. بعنوان بالن، ساختارهای خطوط نواری باریک شونده مارشاند^۵ کاندیدای مناسبی هستند[۴]. تطبیق امپدانس و ملزمات فرکانس به همراه اندازه محدود آنتن و لزوم مجتمع شدن بالن با آنتن، اساسی‌ترین موارد در تغذیه آنتن سینوس می‌باشند.

بالنی که در این طرح برای تغذیه آنتنهای سینوس استفاده شده است، یک بالن مسطح مدار چاپی است که در شکل ۴ نشان داده شده است. این ساختار از دو خط غیربالانس موازی شروع شده و با باریک شدن هر دو نوار این خطوط به دو خروجی بالانس ختم می‌شود. دو خروجی باریک می‌شوند تا انتقال امپدانس از ۲۰۰ اهم در ورودی آنتن به ۵۰ اهم را فراهم سازند. بنابراین تبدیل امپدانس ۱:۴ خواهیم داشت. این ایده مناسبتر می‌باشد زیرا که بالن باریک شونده^۶ از لحاظ ساخت ساده بوده و قیمت تمام شده آن پایینتر می‌باشد. اندازه SWR شبیه‌سازی شده برای این بالن که در شکل ۵ آورده شده است، در باند فرکانس ۲ GHz تا ۱۸ GHz، ۱.۸ کمتر از ۱:۲ بوده و ایزولاسیون دو بالن بیش از ۳۰ dB می‌باشد. شبیه‌سازی این ساختار توسط شبیه‌ساز سه بعدی Ansoft HFSS ویرایش ۸.۸ انجام گرفته است[۸].

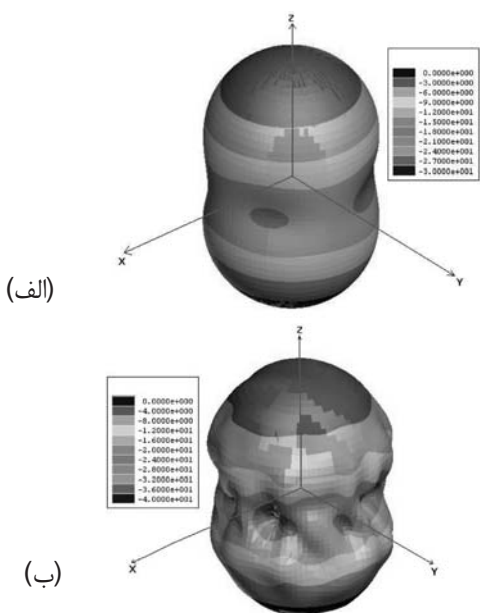


شکل (۴): بالن مایکرواستریپ باریک شونده که با مقاومت فشرده ۲۰۰ اهم بار شده است تا امپدانس ورودی آنتن شبیه‌سازی شود.

6- Microstrip Tapered Balun



شکل (۸): آنتن سینوس بار شده توسط **Ansoft HFSS** به همراه مشن بندی آنتن سینوس در 10 GHz تولید شده توسط **Ansoft HFSS**

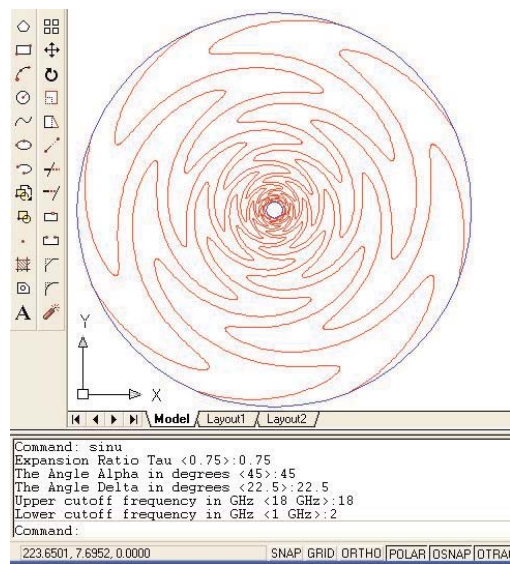


شکل (۸): الگوی تشعشعی سه بعدی شبیه‌سازی شده آنتن سینوس، وقتی دو جفت بازو با 90° درجه اختلاف فاز تغذیه شوند.

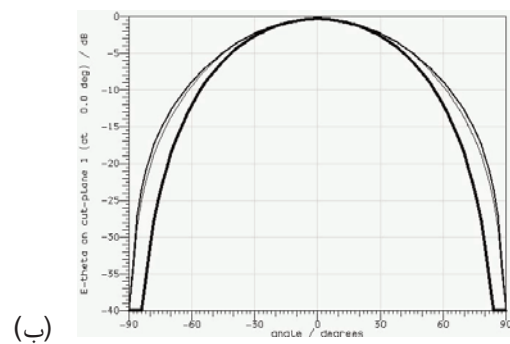
(الف) در فرکانس 3 GHz (ب) در فرکانس 15 GHz

برای این منظور ابتدا آتن سینوس توسط برنامه ویژه‌ای که توسط اُتولیسپ^۷ نوشته شده است. در محیط اتوکد رسم می‌شود (شکل ۷ را بینید). این ساختار رسم شده در اتوکد در نرم افزار شبیه‌ساز **Ansoft HFSS** بار می‌شود. شکل ۸ شمای آتن بار شده در این شبیه‌ساز را به همراه مشن تولید شده در فرکانس 10 GHz نشان می‌دهد.

نتایج حاصل از شبیه‌سازی، بویژه خواص تشعشعی، کاملاً با نتایج تئوری و شبیه‌سازی‌های قبلی که توسط افراد مختلف انجام شده، مطابقت دارد [۵] (شکل ۱۱ را بینید). الگوهای تشعشعی سه بعدی رسم شده، تغییرات مختصری را در فرکانس‌های بالا نشان می‌دهد (شکل ۸). این پدیده را می‌توان در نتایج حاصل از اندازه‌گیری نیز مشاهده کرد. صفرهای ایجاد شده در زاویه افقی 45° در شکل ۸، اثر تحریک در الگوی تشعشعی را نشان می‌دهد. الگوی تشعشعی رسم شده با مختصات قطبی را که با منحنی‌های حاصل از اندازه‌گیری هم تطابق دارد، می‌توان در شکل ۹ مشاهده کرد.



شکل (۷): خط فرمان واسط کاربری برنامه اُتولیسپ برای رسم آنتن سینوس



(ب)

شکل (۱۱): (الف) شمای آتن سینوس و (ب) الگوی تشعشعی صفحه E و H آن که در مرجع [۵] شبیه سازی شده است.

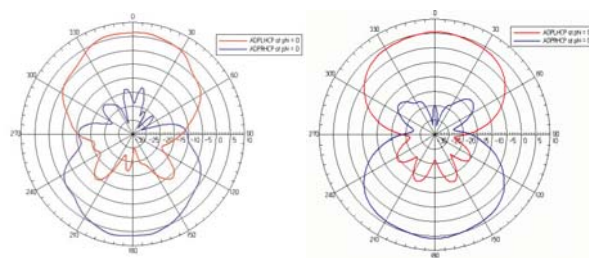
شکل ۱۰. چگالی جریان سطحی را در نواحی مختلف آتن بر حسب فرکانس مورد تحلیل، نشان می دهند. این رسمها مovid این واقعیت هستند که توزیع جریان در فرکانسهای بالا در نواحی درونی و نزدیک نقطه تحریک دارای دامنه بزرگتری است و بالعکس، در فرکانسهای پایین این توزیع جریان در نواحی بیرونی و دورتر از نقطه تحریک، قرار گرفته اند. تغییر دو جفت بازوها که توزیع جریان فشرده تری دارد، با یک پریود 90° درجه با تحریک اعمال شده ثابت می ماند.

۵- ساخت و اندازه گیری مشخصات آتن سینوس

در مجموع چهار آتن سینوس مسطح در محدوده های فرکانسی متفاوت طراحی و ساخته شده است (شکل ۱۲). تمامی برد های این آتنها و بالتهایا، بر روی زیر لایه ای با نام RO4003C با ثابت گذرهی 0.08mm و ضخامت 0.5mm چاپ شده اند. بجز بالن آتن سینوس باند $1-5\text{GHz}$ که بر روی زیر لایه ای با نام RF35 با ثابت گذرهی 0.074mm و ضخامت 0.25mm ساخته شده است.



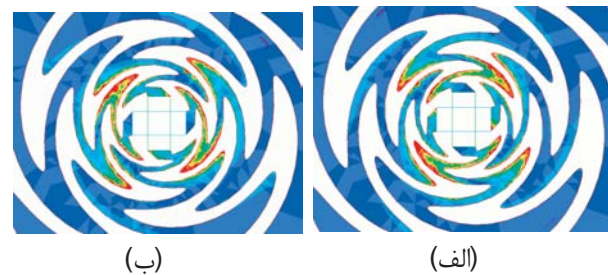
شکل (۱۲): شمای چهار آتن سینوس ساخته شده در باندهای مختلف



(ب)

(الف)

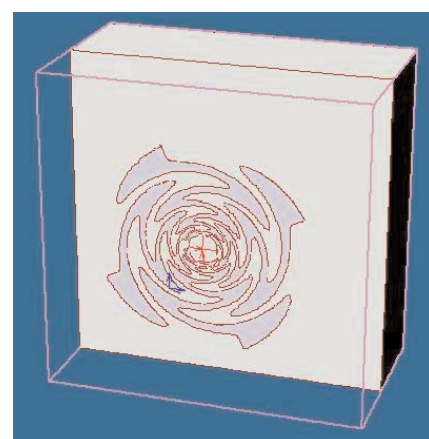
شکل (۹): الگوی تشعشعی LHCP (قرمز) و RHCP (آبی) آتن سینوس، وقتی دو جفت بازو با 90° درجه اختلاف فاز تحریک شوند. (الف) در فرکانس 3GHz و (ب) در فرکانس 15GHz ، چنانکه از این الگوها مشاهده می شود، بهره ای آتن حدود 5dBi بوده و سطح قطبی شدگی متقطع در پهنهای پرتو $\theta < 60^\circ$ ، بهتر از -17dB می باشد.



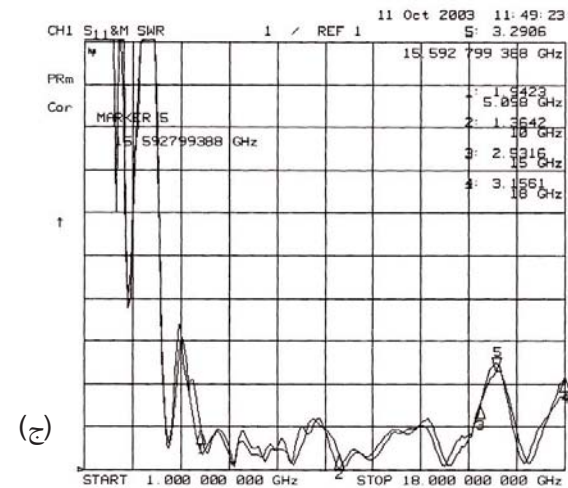
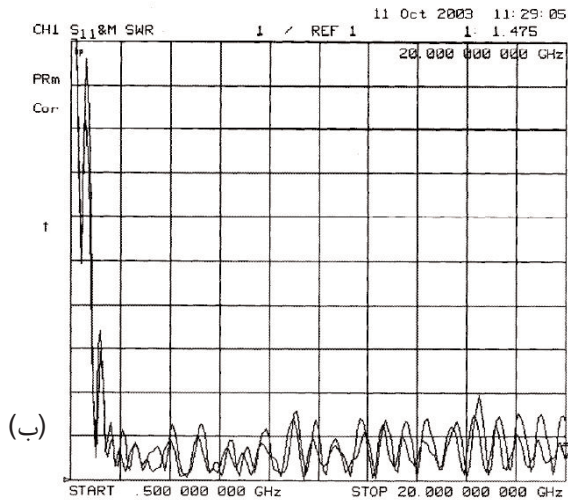
(ب)

(الف)

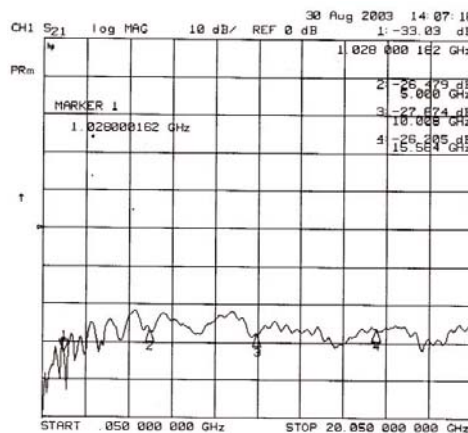
شکل (۱۰): توزیع جریان روی آتن سینوس در فرکانس 18GHz وقتی دو جفت بازو با 90° درجه اختلاف فاز تحریک شوند. فاز تحریک در شکل (الف) صفر و در شکل (ب) 90° درجه می باشد.



(الف)

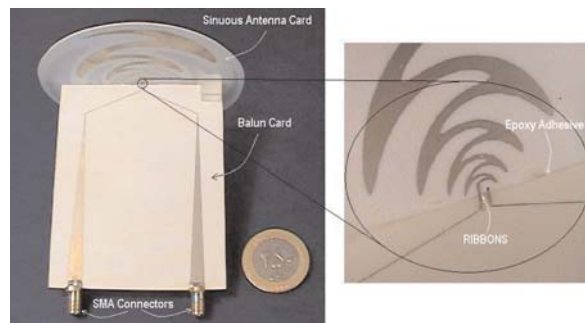


شکل(۱۴): منحنی SWR بر حسب فرکانس هر دو پورت آنتن سینوسی
(الف) باند ۱-۵ GHz، (ب) باند ۲-۱۸ GHz، (ج) باند ۶-۱۸ GHz



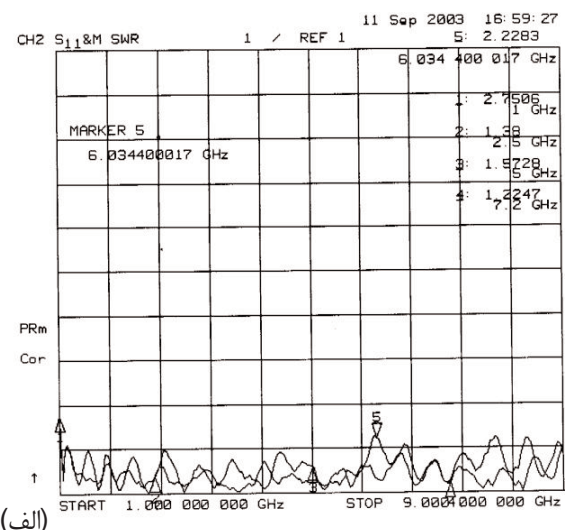
شکل(۱۵): منحنی تزویج متقابل دو بازوی آنتن سینوسی باند ۲-۱۸ GHz

کار چاپ و تولید این آنتنها در آزمایشگاه لایه نازک دانشگاه تهران و آزمایشگاه میکروالکترونیک جهاد دانشگاهی صنعتی شریف انجام گرفته است. برای اتصال کارت بالن و آنتن از ریبنهایی مسی با ابعاد ۰/۱۲mmx/۳۵mm استفاده شده است. این ریبنها، ابتدا به کارت بالن متصل می‌شوند و سپس همراه با بالن به آنتن اتصال داده می‌شوند. برای استحکام بخشیدن به اتصال کارت بالن به کارت آنتن، از قطعات کوچک مکعبی از جنس فایبرگلاس استفاده شده است که یک سطح آن به بالن و سطح دیگر که عمود بر این سطح می‌باشد، بوسیله چسب به کارت آنتن متصل می‌شود.

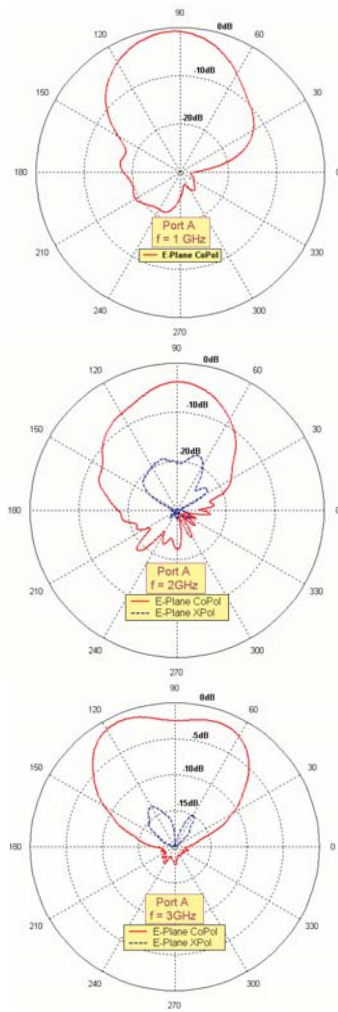


شکل(۱۳): جزئیات آنتن سینوسی ۲-۱۸ GHz با بالنهای باریک شونده خطی

اندازه گیری تلف برگشتی و ایزولاسیون دو پورت خروجی این آنتنها که توسط دستگاه آنالیزگر شبکه مدل HP8720D صورت گرفته است، در شکل‌های ۱۴ و ۱۵ آورده شده است.



برد مدار چاپی و جاذب با فاصله‌ای که توسط فوم شانه عسلی پر می‌شود، از هم جدا می‌شوند. تا بتوان اثربخشی متقابل آنها را کاهش داد. فوم شانه عسلی از ماده‌ای ساخته می‌شود که از لحاظ مکانیکی دارای استحکام بالا بوده و لایه ثابت دی الکتریک C-RAM ۱/۱۵HCGR نزدیک یک باشد. این فوم شانه عسلی بانام ۱/۱۵HCGR محصول شرکت کامینگ مایکروویو^۹ با ضخامت ۱ بوده و تلف برگشتی آن کمتر از ۱۵ dB می‌باشد. اندازه‌گیریهای الگوی تشعشعی این آنتنها در افق جاذب آزمایشگاه آنتن دانشگاه خواجه نصیرالدین طوسی و دانشگاه صنعتی مالک اشتر انجام گرفته است. با توجه به اینکه تمامی آنتنها سینوس این مقاله، مشخصات طراحی یکسانی دارند، فقط الگوهای تشعشعی نمونه آنتن سینوس باند ۱-۵ GHz در فرکانس‌های مختلف آورده می‌شود (شکل‌های ۱۷ تا ۲۰ را ببینید).



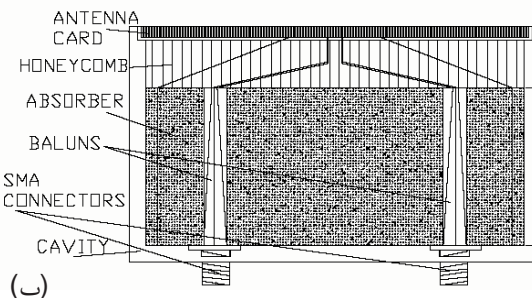
8- EMERSUN and CUMMING Corporation

چنانکه از این شکلها مشاهده می‌شود، منحنی SWR هر دو ورودی آنتن ۱-۵ GHz در کل باند کمتر از ۱:۱ می‌باشد. ولی برای آنتنها باند ۲-۱۸ GHz در ۶-۱۸ GHz ۸۰٪ باند، کمتر از ۲:۱ می‌باشد و در کل باند، زیر ۱:۲/۵ قرار دارند. همچنین دو پورت آنتن باند ۲-۱۸ GHz در کل باند عملکرد خود بیش از ۲۰ dB از هم ایزوله می‌باشند (شکل ۱۵ را ببینید).

شمای آنتن سینوس باند ۱-۵ GHz به همراه حفره فلزی که یک سیلندر آلومینیومی است و با جاذب الکترومغناطیسی مناسب پر شده است در شکل ۱۶ آورده شده است. این حفره با بریدن یک ورقه آلومینیومی و سنبه زدن آن ساخته می‌شود، عمق حفره چنان تنظیم می‌شود که با ابعاد جاذب و فومها منطبق باشد (شکل ۱۶ را ببینید). جاذبی که انتخاب شده است، ECCOSORB-AN-۷۷، می‌تواند امواج الکترومغناطیسی با فرکانس بالای ۱ GHz را به شکل کاملاً موثری جذب کند.

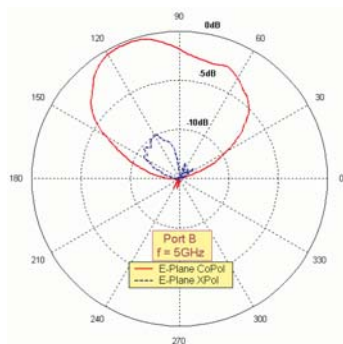


(الف)

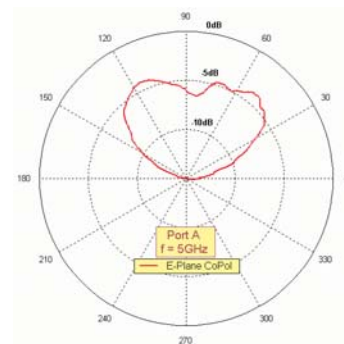


شکل (۱۶): شمای آنتن سینوس به همراه حفره پر شده با جاذب

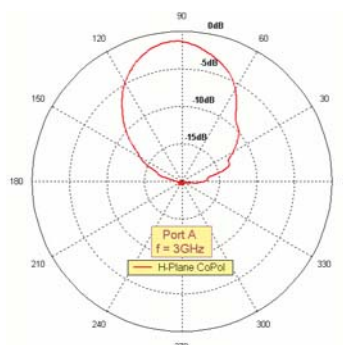
9- CUMMING MICROWAVE Corporation



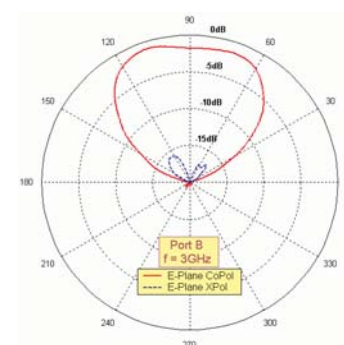
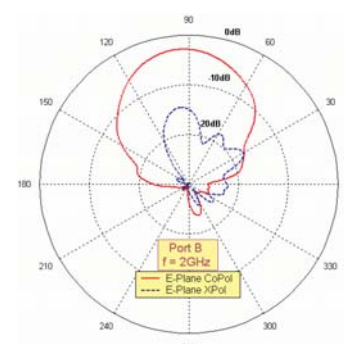
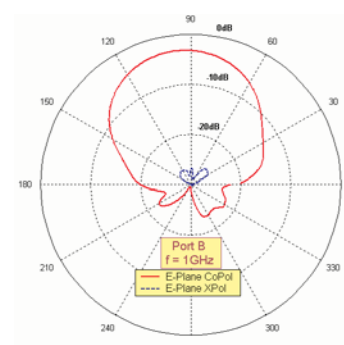
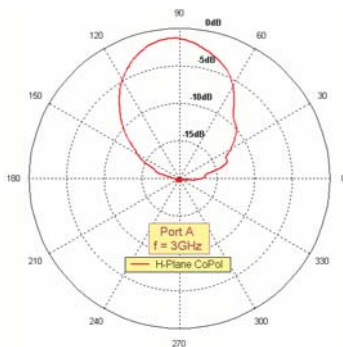
شکل(۱۸): الگوی تشعشعی صفحه E اندازه گیری شده آنتن سینوس باند ۱-۵GHz مربوط به پورت B در فرکانس‌های ۵GHz، ۳GHz، ۲GHz، ۱GHz و ۰.۵GHz



شکل(۱۷): الگوی تشعشعی صفحه E اندازه گیری شده آنتن سینوس باند ۱-۵ GHz مربوط به پورت A در فرکانس‌های ۵ GHz، ۳ GHz، ۲ GHz، ۱ GHz و ۰.۵ GHz



شکل (۱۹): الگوی تشعشعی صفحه H اندازه گیری شده آنتن سینوس باند ۱-۵GHz مربوط به پورت A در فرکانس‌های ۴ GHz و ۳ GHz



۱-۵GHz در پهنهای پرتو موثرش، تقریباً یکسان می‌باشد و در تمامی موارد، با نتایج حاصل از شبیه‌سازی به خوبی سازگار است. سطح پلاریزاسیون متقطع آنتن‌های سینوس عموماً کمتر از ۱۳dB می‌باشد. بطور کلی، پهنهای پرتو ۳dB این آنتنها، در حدود ۸۰ درجه می‌باشد و همواره در محدوده ۷۰-۹۰° می‌ماند. لوچی پرتو نسبت به فرکانس، کمتر از ۵ می‌باشد که با توجه به پهنهای پرتو بسیار بالای این آنتنها این میزان لوچی کاملاً بی‌همیت می‌باشد. و در نهایت، در یک جمله می‌توان گفت که نتایج حاصل از اندازه‌گیری این آنتنها، کاملاً رضایت بخش بوده و می‌تواند انتظارات و نیازهای صنعت را برآورده سازد.

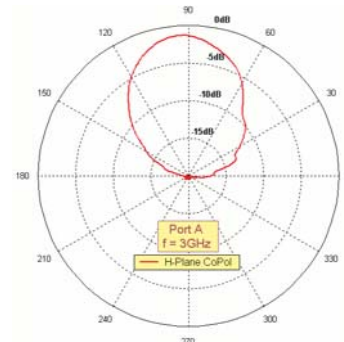
۷- تشکر و قدردانی

نویسنده‌گان مقاله از مدیر عامل و مدیر تحقیقات شرکت صنایع الکترونیک زعیم که پشتیبانی فنی و مالی این پروژه را بر عهده داشتند، تشکر و قدردانی می‌کنند.

مراجع

- [1] Johnson and Jasik, "Antenna Engineering Handbook," Second Edition, McGraw-Hill Book Co., 1984, Chapter 14.
- [2] R. H. DuHamel, "Dual Polarized Sinuous Antennas," U.S. Patent No. 4,658,262, April 14, 1987
- [3] John D. Kraus, "Antennas," Second Edition, McGraw-Hill International Editions, 1988, Chapter 15.
- [4] Ph. Gonnet, A. Skrjervik, A. Sharahia, "Feeding Networks for Sinuous Antennas," Microwave and Optical Technology Letters, Vol.20, No. 3, February 5 1999.
- [5] Bruce Veidt, "Sinuous Antenna Simulation Results", Herzberg Institute of Astrophysics, Canada, December 3, 1998.
- [6] K. M. Pour Aghdam, Reza Faraji-Dana and Jalil Rashed-Mohassel, "Design and Construction of Dual Polarized Sinuous Antenna in the 2-18GHz Frequency Range", 12th Iranian Conference on Electrical Engineering (ICEE2004), Mashhad, Iran, 2004.
- [7] K. M. Pour Aghdam, "Design and Construction of Dual Polarized Sinuous and Log-Periodic Antennas in the 2-18GHz Frequency Range", M. S. Thesis in Electrical Engineering, University of Tehran, Tehran, Iran, 2003.
- [8] Ansoft High Frequency Structure Simulator (HFSS) Tutorial, Ansoft Corporation, 2003.

10- Beam Squint vs. frequency



شکل (۲۰): الگوی تشعشعی صفحه H اندازه گیری شده آنتن سینوس باند ۱-۵ GHz مربوط به پورت B در فرکانسهای ۴ GHz و ۵ GHz

نتایج اندازه‌گیری الگوهای آنتن، اطلاعات بسیار مفیدی در رابطه با طراحی این آنتنها به ما می‌دهد. بطور کلی، الگوی توان تشعشعی آنتن سینوس، آنگونه که انتظار می‌رفت و شبیه‌سازیها پیش‌بینی می‌کردند، خوب بود و برای کاربردهای عمومی، این آنتن جوابگو می‌باشد. سطح پلاریزاسیون متقطع آنتن سینوس عموماً می‌باشد. سطح پلاریزاسیون متقطع آنتن سینوس نمونه عموماً کمتر از ۱۳dB می‌باشد. البته با چند نمونه بهتر یا بدتر که نمونه بهتر از ۱۰dB را می‌توان در در فرکانسهای پایین مشاهده کرد. بطور کلی، پهنهای پرتو ۳dB آنتن فوق، در حدود ۸۰ درجه می‌باشد و همواره در محدوده ۷۰-۹۰° می‌ماند. لوچی پرتو نسبت به فرکانس^{۱۰} این آنتن در کل باند فرکانسی ۱-۵ GHz، کمتر از ۵° می‌باشد. بطور عملی، این مقادیر برای پارامتر لوچی پرتو چندان بالا نمی‌باشد. زیرا کجی پرتو از پهلوآتش^{۱۱}، برای آنتن‌های که پهنهای پرتو بالایی دارند، مانند آنتن سینوس چندان اهمیت ندارد. کجی ۳ یا ۶ dB برای این آنتن‌ها بعنوان پارامتر لوچی پرتو، دارای معنی است. ولی مقادیر داده شده در اینجا، با اختلاف بسیار کوچکی در سطح توان آنتن در راستای عمود بر صفحه آنتن، نسبت به محدوده بیشینه‌ای که توان دریافت می‌شود، محاسبه شده است.

۶- نتیجه‌گیری

با توجه به اندازه‌گیری‌های انجام گرفته تمامی آنتن‌های سینوس، از لحاظ تلف برگشتی عملکرد تقریباً یکسانی دارند (در همه موارد ۱: ۲/۵ < SWR). الگوهای تشعشعی نمونه آنتن سینوس

11- Broadside